Eingabe: Farbmetrisches Fernseh-Licht-System TLS00a

für Buntton *h* = lab*h = 25/360 = 0.071*

lab*tch* und *lab*nch

D65: Buntton R

LCH*Ma: 52 89 25

olv*Ma: 1.0 0.0 0.21

Dreiecks-Helligkeit *t**

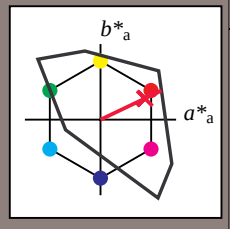

%Umfang

u^*_{rel} = 158

%Regularität

$g^*_{H,rel}$ = 20

$g^*_{C,rel}$ = 37

TLS00a; adaptierte CIELAB-Daten

	$L^*=L^*_a$	a^*_a	b^*_a	$C^*_{ab,a}$	$h^*_{ab,a}$
O_{Ma}	50.5	76.92	64.55	100.42	40
Y_{Ma}	92.66	−20.69	90.75	93.08	103
L_{Ma}	83.63	−82.75	79.9	115.04	136
C_{Ma}	86.88	−46.16	−13.55	48.12	196
V_{Ma}	30.39	76.06	−103.59	128.52	306
M_{Ma}	57.3	94.35	−58.41	110.97	328
N_{Ma}	0.01	0.0	0.0	0.0	0
W_{Ma}	95.41	0.0	0.0	0.0	0
R_{CIE}	39.92	58.74	27.99	65.07	25
J_{CIE}	81.26	−2.88	71.56	71.62	92
G_{CIE}	52.23	−42.41	13.6	44.55	162
B_{CIE}	30.57	1.41	−46.46	46.49	272

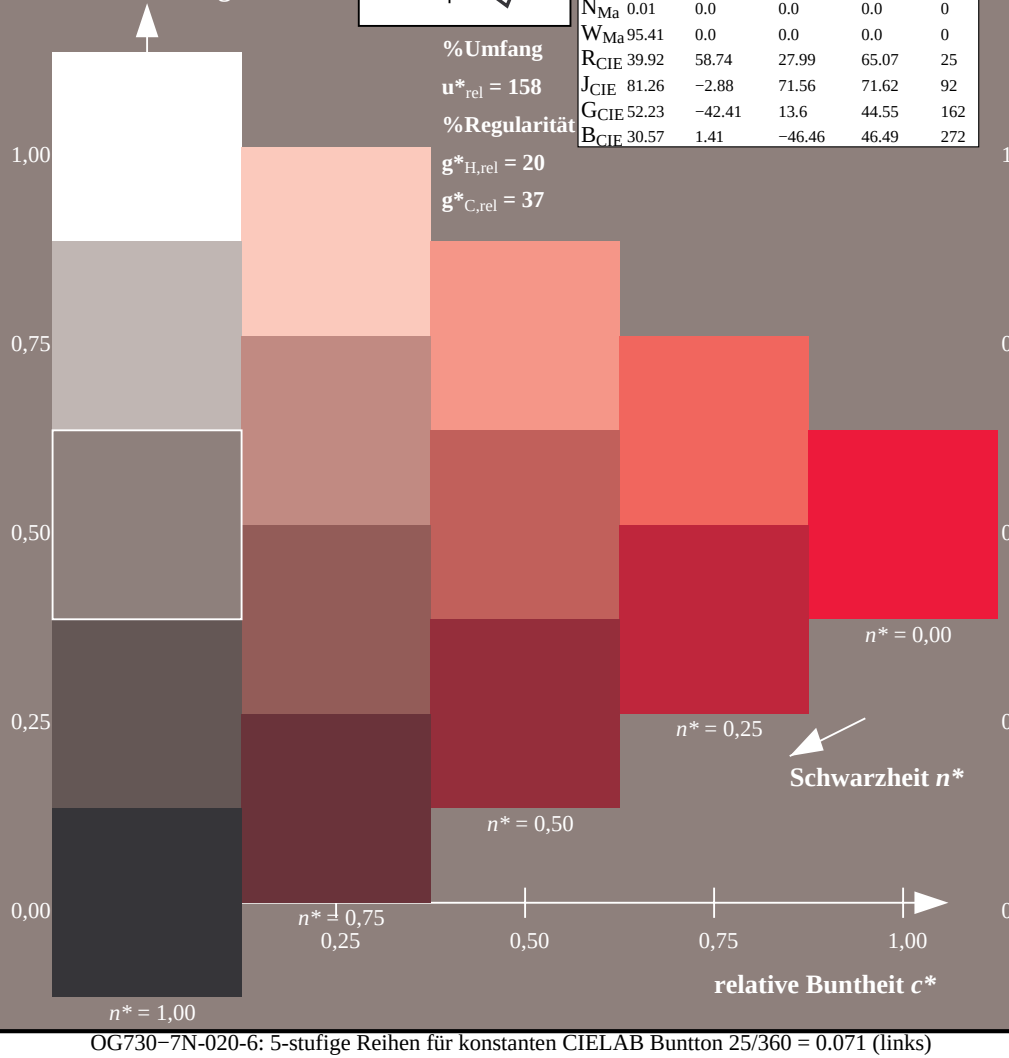

Ausgabe: Farbmetrisches Fernseh-Licht-System TLS00a

für Buntton *h* = lab*h = 25/360 = 0.071*

lab*tch* und *lab*nch

D65: Buntton R

LCH*Ma: 52 89 25

olv*Ma: 1.0 0.0 0.21

Dreiecks-Helligkeit *t**

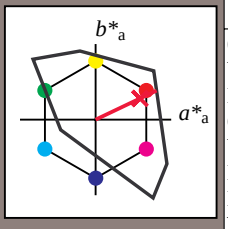

%Umfang

u^*_{rel} = 158

%Regularität

$g^*_{H,rel}$ = 20

$g^*_{C,rel}$ = 37

TLS00a; adaptierte CIELAB-Daten

	$L^*=L^*_a$	a^*_a	b^*_a	$C^*_{ab,a}$	$h^*_{ab,a}$
O_{Ma}	50.5	76.92	64.55	100.42	40
Y_{Ma}	92.66	−20.69	90.75	93.08	103
L_{Ma}	83.63	−82.75	79.9	115.04	136
C_{Ma}	86.88	−46.16	−13.55	48.12	196
V_{Ma}	30.39	76.06	−103.59	128.52	306
M_{Ma}	57.3	94.35	−58.41	110.97	328
N_{Ma}	0.01	0.0	0.0	0.0	0
W_{Ma}	95.41	0.0	0.0	0.0	0
R_{CIE}	39.92	58.74	27.99	65.07	25
J_{CIE}	81.26	−2.88	71.56	71.62	92
G_{CIE}	52.23	−42.41	13.6	44.55	162
B_{CIE}	30.57	1.41	−46.46	46.49	272

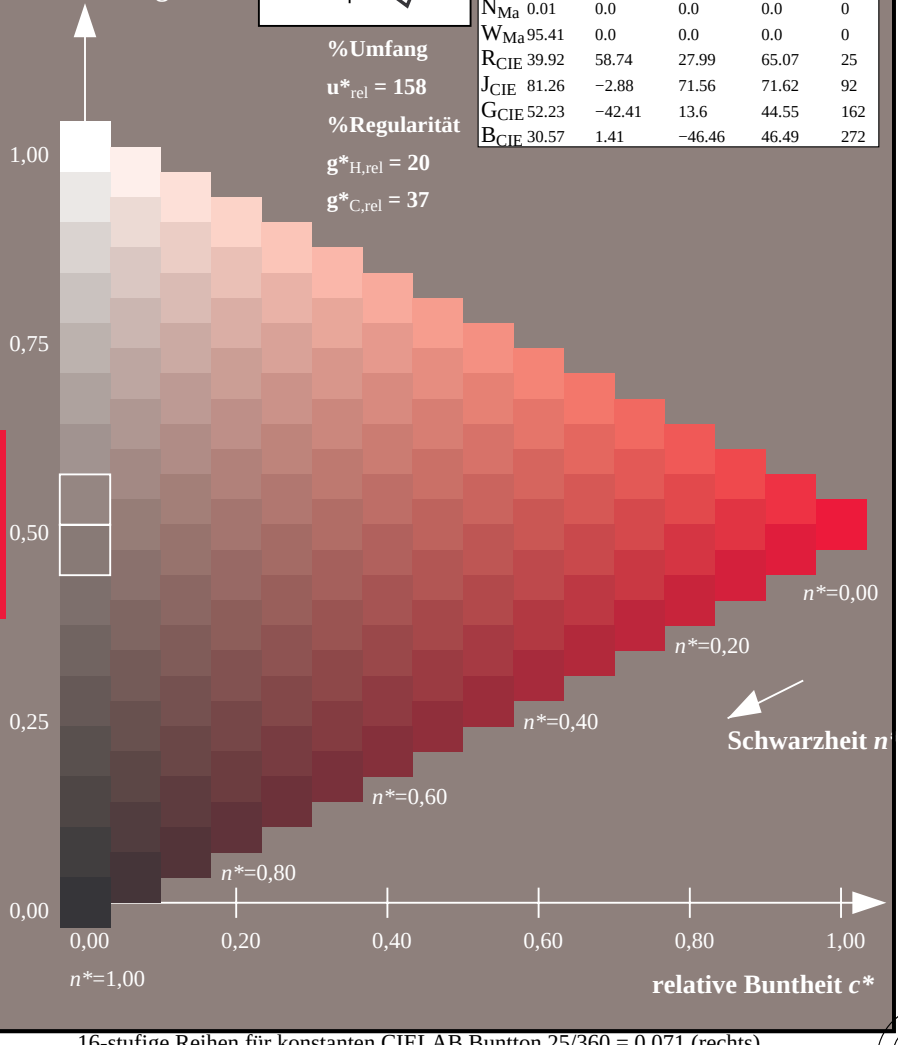

OG730−7N-020-6: 5-stufige Reihen für konstanten CIELAB Buntton 25/360 = 0.071 (links)

16-stufige Reihen für konstanten CIELAB Buntton 25/360 = 0.071 (rechts)

OG73: Prüfvorlage 2 nach DIN 33872-2, Buntton R; DEH
Unterscheidbarkeit 5- und 16-stufige Farbreihen

Eingabe: *cmy0 (−>cmy0*$_{de}$) setcmyk*
Ausgabe 020-6: keine Änderung